

9. Лизачев Г.Г., Студеникин А.И.// ЖЭТФ. 1995. 108. С. 769.
10. Likhachev G.G., Studenikin A.I.// Hadronic Journ. 1995. 18. P.1.
11. Egorov A.M., Likhachev G.G., Studenikin A.I.//Proc. of conf. "Recontres de Physique de la Valee d'Aoste" //Ed. M. Greco. Frascaty, Italy, 1995. P. 55.
12. Likhachev G.G., Studenikin A.I.// Grav.& Cosm. 1995. 22. P. 1.
13. Likhachev G.G., Studenikin A.I.// Phenomenology of Unification from Present to Future / Ed. G.Diambrini-Palazzi, L.Zanello, G.Martinelli. Singapore, 1994. P. 67; Likhachev G.G., Studenikin A.I. Prepr.ICTP. IC/94/170. Trieste, Italy.
14. Friedman B., Pandharipande V.// Nucl. Phys. 1981. A361. P. 502.
15. Волошин М.Б.// Письма в ЖЭТФ. 1988. 47. С. 421.
16. Lim C.-S., Marciano W.// Phys.Rev. 1988. D37. P. 1368.
17. Shi X., Sigl G.// Phys. Lett. 1994. B323. P. 360.
18. Fuller G., Mayle R., Meyer B., Wilson J.// Astrophis. J. 1992. 389. P. 517.
19. Smirnov A., Spergel D., Bahcall J.// Phys. Rev. 1988. D49. P. 1389.
20. Raffelt G., Sigl G.// Astropart. Phys. 1993. 1. P. 165.
21. Peltoniemi J.// Astron. Astrophys. 1994. 254. P. 121.
22. Kusenko A., Segre G. Prepr. UPR-705-T, Pensilvania, USA, 1996.
23. Baym J., Pethick C., Sutherland P.// Astrophys.J. 1971. 170. P. 299.
24. Калиткин Н.Н. Численные методы. М., 1978.
25. Pal B.P.// Int. J.Mod.Phys. 1992. A7. P. 5387.

Поступила в редакцию  
10.06.96

## ТЕОРЕТИЧЕСКАЯ И МАТЕМАТИЧЕСКАЯ ФИЗИКА

УДК 530.145

# РАСЧЕТ СОБСТВЕННЫХ ЧАСТОТ И ИЗЛУЧАТЕЛЬНЫХ ПОТЕРЬ ОТКРЫТЫХ ДИЭЛЕКТРИЧЕСКИХ РЕЗОНАТОРОВ

А.А.Усанкин

(кафедра молекулярной физики и физических измерений)

Разработан численный алгоритм расчета излучательных потерь и собственных частот открытых диэлектрических резонаторов, имеющих форму тела вращения с произвольной образующей. Показано, что данный алгоритм применим для изучения мод типа "шепчущей галереи" при высоких значениях азимутального индекса.

### Введение

В настоящее время для решения ряда задач необходимо знать предельно достижимую излучательную добротность и зависимость потерь от формы и размеров открытых диэлектрических резонаторов (ОДР) или системы резонаторов СВЧ или оптического диапазона [1,2].

Особый интерес представляет теоретическое исследование мод типа "шепчущей галереи" (ШГ). Для ШГ-мод характерна концентрация поля в малой тороидальной области вблизи поверхности резонатора и их высокая добротность (экспериментально достигнуты значения добротности  $Q \geq 10^{11}$  для сапфировых резонаторов в СВЧ-диапазоне и  $Q \geq 10^9$  для оптических квар-

цевых микрорезонаторов). Это позволяет использовать ОДР в установках для исследования квантовых эффектов, а также в высокочувствительных датчиках перемещения. Используемые в таких исследованиях ОДР должны иметь как можно большую добротность. Теоретические оценки показывают, что при уменьшении размеров резонаторов (а это диктуется требованиями ряда экспериментов) существенный вклад в потери ОДР оказывает их излучение. Поэтому практически важен точный расчет зависимости излучательных потерь и резонансных частот от формы и размеров ОДР, особенно для ШГ-мод.

Напомним, что электромагнитные колебания в ОДР возможны только при дискретных значениях собственной комплексной частоты, зависящих от формы ОДР.

Каждой моде соответствуют три индекса:  $m$  — азимутальный (число длин волн, укладываемых вдоль "экватора" резонатора);  $n$  — радиальный (число колебаний вдоль радиуса);  $l$  — меридиональный ( $(m - l + 1)$  — число колебаний вдоль образующей резонатора). ШГ-модам соответствуют колебания с  $m - l = 0; 1$  при  $n = 1; 2$ . Нахождение собственных частот, распределения полей и излучательных потерь ОДР является в общем случае нетривиальной задачей. Решение этой задачи аналитическими методами математической физики возможно только для резонаторов, поверхность которых является эллипсоидом вращения (бесконечный цилиндр, шар) [3,4]. В остальных случаях возможно приближенное численное решение.

Различные способы численного решения указанной задачи были предложены авторами работ [5-9]. Так, например, в работе [5] применен метод аппроксимации второго порядка. Данный метод применим только для дисковых резонаторов и при выполнении условий  $\epsilon \gg 1$  и  $E_n = E_z \approx 0$  (поле на торцевой стенке резонатора). В работе [6] авторами был предложен метод неполной магнитной стенки. В случае основной моды ( $m = 0, n = 1$ ) для резонансной частоты получено соответствие с экспериментом лучше 1%. Такое же соответствие с экспериментом было получено в работе [7]. Здесь метод магнитной стенки использовался вместе с вариационным. Указанные методы применимы только для мод с низким радиальным индексом ( $n = 0; 1; 2$ ), причем отношение высоты к диаметру должно быть порядка единицы и больше. Кроме того, в работах [5-7] не указывается способ расчета излучательных потерь, и методики [5-7] нельзя использовать для расчета ШГ-мод высоких азимутальных порядков ( $m > 10$ ).

В работах [8,9] предложен метод расчета собственных частот и излучательных потерь в диэлектрических резонаторах формы тела вращения. Способ расчета основан на численном решении задачи о колебаниях в ОДР методом интегральных уравнений (методом моментов). Авторами [9] решена задача применительно к дисковым резонаторам для ряда мод низкого азимутального порядка ( $m = 1, \dots, 5$ ). Различие рассчитанных и экспериментальных значений добротности и частоты составляет величину порядка 1% для различных мод, в том числе и для ШГ-мод.

Вопрос об излучательных потерях ШГ-мод высоких порядков ( $m > 10$ ) в ОДР формы тела вращения с образующей произвольной формы, насколько нам известно, до сих пор не исследовался. В настоящей работе предпринята такая попытка. Для нахождения собственных частот и излучательных потерь был использован метод моментов (ММ) [8-10]; была определена область применимости ММ. Для этого методом моментов решалась задача о свободных колебаниях в сферическом резонаторе, для которой уже существует точное решение [3]. Было выяснено, что с помощью ММ можно находить собственные частоты для ШГ-мод вплоть до 30-40-го порядка с точностью до 0,1 % и распределения полей

с точностью до 1%. Однако для вычисления излучательных потерь мод высокого азимутального порядка ( $m > 10$ ) ММ неприменим. Это связано с тем, что при  $m > 10$  ШГ-моды имеют очень большую излучательную добротность ( $Q = \omega''/(2\omega') \gg 10^3, \omega = \omega' + i\omega''$ ) и малые комплексные добавки к частоте незначительно влияют на величину определителя матрицы импедансов в ММ. Метод моментов позволяет вычислить излучательные потери с погрешностью менее 10% лишь для мод, добротность которых не превышает  $10^3$ . Для мод, обладающих большей добротностью, вычисление излучательных потерь в ММ требует разбиения образующей на большее число частей, что ведет к увеличению времени вычислений. Уже для числа разбиений образующей в ММ  $N = 30$  время вычислений на машине DX4-100 достигает нескольких часов. В настоящей работе предложен способ расчета излучательных потерь для ШГ-мод высоких порядков с погрешностью менее 20%. Излучательные потери вычислялись в два этапа. Сначала с помощью ММ находились резонансная частота и распределение полей на границе резонатора, затем на этой основе находилось пространственное распределение электромагнитного поля, которое позволяет найти поток энергии, уносимый из резонатора, и рассчитать излучательную добротность. Путем сравнения с точным решением для шарового ОДР была проверена применимость ММ для расчета собственных частот (с погрешностью до 0,1%), полей (1%) и излучательных потерь (20%). Таких же значений погрешности в определении этих величин можно ожидать и для резонаторов более сложной формы. ММ был применен для исследования излучательных потерь в дисковых ОДР. Получена зависимость излучательных потерь дискового ОДР от его высоты для ШГ-моды с  $m = 15$ .

### Постановка задачи. Метод моментов

Можно показать [11], что электромагнитное поле в ОДР удовлетворяет следующим интегральным уравнениям:

$$\begin{aligned} \mathbf{n} \times \int_S \left\{ i\omega\mu \mathbf{J}_s(\varphi_1 + \varphi_2) + \mathbf{K}_s \times \nabla' \cdot (\varphi_1 + \varphi_2) - \right. \\ \left. - \frac{i}{\omega\epsilon_1} \text{Div} \mathbf{J}_s \nabla' \cdot \left( \varphi_1 + \frac{\epsilon_1}{\epsilon_2} \varphi_2 \right) \right\} ds' = 0, \quad (1) \\ \mathbf{n} \times \int_S \left\{ i\omega\epsilon_1 \mathbf{K}_s \left( \varphi_1 + \frac{\epsilon_2}{\epsilon_1} \varphi_2 \right) - \right. \\ \left. - \mathbf{J}_s \times \nabla' \cdot (\varphi_1 + \varphi_2) - \frac{i}{\omega\mu} \text{Div} \mathbf{K}_s \nabla' \cdot (\varphi_1 + \varphi_2) \right\} ds' = 0. \quad (2) \end{aligned}$$

Интегрирование ведется по координатам поверхности резонатора  $\mathbf{x}'$ . Индекс "1" соответствует значениям электродинамических величин вне резонатора, индекс "2" — внутри него;  $\varphi_i = \exp\{-ik_i|\mathbf{x} - \mathbf{x}'|\}/|\mathbf{x} - \mathbf{x}'|$ ,

Таблица 1

$m$	$(k'r_0)_{ex}$	$Q_{ex}$	$N$	$(k'r_0)_{MM}$	$Q_{MM}$	$\delta_\omega$	$\delta_Q$
3	3,007	5,07	10	3,07	6,18	0,02	0,18
			20	3,03	5,26	0,01	0,04
			30	3,00	5,09	0,002	0,004
10	7,246	$8,38 \cdot 10^2$	10	7,30	$9,2 \cdot 10^2$	0,007	0,09
			20	7,28	$8,47 \cdot 10^2$	0,005	0,01
			30	7,25	$8,34 \cdot 10^2$	0,001	0,005
20	12,772	$1,98 \cdot 10^6$	10	12,75	$3 \cdot 10^3$	0,002	400
			20	12,76	$1 \cdot 10^3$	0,001	200
			30	12,77	$5 \cdot 10^4$	0,0002	40
30	18,164	$6,67 \cdot 10^9$	10	18,12	$2 \cdot 10^5$	0,002	17500
			20	18,14	$3 \cdot 10^4$	0,001	8750
			30	18,15	$1 \cdot 10^5$	0,0008	7000

$k_i = \omega \sqrt{\epsilon_i \mu}$ ;  $\mathbf{J}_s = \mathbf{n} \times \mathbf{H}$ ,  $\mathbf{K}_s = -\mathbf{n} \times \mathbf{E}$ ;  $\mathbf{n}$  - вектор нормали к поверхности резонатора; Div - оператор поверхностной дивергенции,  $\text{Div} \mathbf{J} = \frac{\partial(\rho J_t)}{\partial t} + \frac{1}{\rho} \frac{\partial J_\varphi}{\partial \varphi}$ . Систему (1)-(2) можно однозначно разрешить относительно  $\mathbf{J}_s$ ,  $\mathbf{K}_s$  и  $\omega$ .

Решать задачу удобнее всего в цилиндрических координатах. Для каждой моды  $m$  поля  $\mathbf{J}_s$ ,  $\mathbf{K}_s$  представимы в виде разложения вдоль образующей резонатора (рис.1):

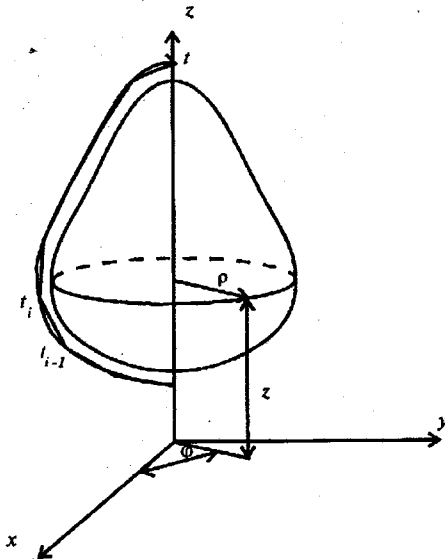


Рис.1. Геометрия и разбиение образующей ОДР формы тела вращения

$$\mathbf{J}_s^m(t) = \left( \mathbf{t} \sum_{i=1}^N E_i^i \Pi^i(t) + \varphi \sum_{i=1}^N E_\varphi^i \Pi^i(t) \right) e^{im\varphi},$$

$$\mathbf{K}_s^m(t) = \left( \mathbf{t} \sum_{i=1}^N H_i^i \Pi^i(t) + \varphi \sum_{i=1}^N H_\varphi^i \Pi^i(t) \right) e^{im\varphi},$$

$$\Pi^i(t) = \begin{cases} 1, & t \in [t_i, t_{i+1}], \\ 0, & t \notin [t_i, t_{i+1}]. \end{cases}$$

Здесь  $\mathbf{J}_s^m(t) = \{E_i(t)\mathbf{t} + E_\varphi(t)\varphi\}$ ,  $\mathbf{K}_s^m(t) = \{H_i(t)\mathbf{t} + H_\varphi(t)\varphi\}$  ( $\mathbf{t}$ ,  $\varphi$  — единичные векторы),  $\Pi^i(t)$  — базисная

функция,  $E_i^i, E_\varphi^i, H_i^i, H_\varphi^i$  — средние значения составляющих поля на интервале  $[t_i, t_{i+1}]$ . Таким образом, получим из (1), (2) систему  $4N$  линейных однородных уравнений относительно неизвестных  $E_i^i, E_\varphi^i, H_i^i, H_\varphi^i, i = 1, \dots, N$ :

$$\left[ \hat{\mathbf{Z}}_{ik}^m(\omega_{ms}) \right] \begin{bmatrix} [E_i^i] \\ [E_\varphi^i] \\ [H_i^i] \\ [H_\varphi^i] \end{bmatrix} = 0. \quad (3)$$

Условием существования нетривиального решения системы (3) является равенство нулю определителя

$$\det \left[ \hat{\mathbf{Z}}_{ik}^m(\omega_{ms}) \right] = 0.$$

Из этого условия можно получить комплексные собственные частоты  $\omega_{mn} = \omega' + i\omega''$  свободных колебаний резонатора.

Результаты проверки ММ шарового ОДР с  $\epsilon = 4$  для ШГ-мод ( $m = l, n = 1$ ) приведены в табл. 1, где представлены значения частот и добротностей для моды ТН типа моды ШГ. В табл. 1  $(k'r_0)_{ex}$  — безразмерная частота, где  $k'$  — волновое число, соответствующее точной резонансной частоте,  $r_0$  — радиус шарового резонатора,  $Q_{ex}$  — точное значение добротности,  $N$  — число разбиений образующей резонатора в методе моментов,  $(k'r_0)_{MM}$  и  $Q_{MM}$  — соответственно безразмерная частота и добротность, полученные методом моментов,  $\delta_\omega$  и  $\delta_Q$  — относительные погрешности вычисления собственной частоты и добротности. Таблица 1 иллюстрирует отмеченный во введении факт неприменимости ММ для вычисления излучательных потерь ШГ-мод для порядков  $m > 10$ . Для  $m > 10$  излучательные потери вычислялись с помощью соотношения

$$\omega'' = \frac{\text{Re} \left\{ \oint_S [\mathbf{E}, \mathbf{H}^*] ds \right\}}{\frac{1}{2} \int_V \epsilon \mathbf{E} \mathbf{E}^* dV + \frac{1}{2} \int_V \mu \mathbf{H} \mathbf{H}^* dV}. \quad (4)$$

Физический смысл (4) следующий: числитель — поток энергии, излучаемой резонатором, знаменатель — энергия, запасенная в резонаторе. Данный алгоритм

протестирован на известной задаче о колебаниях в диэлектрическом шаре. Результаты проверки (табл. 2)

Таблица 2

$m$	$1/(2Q_{ex})$	$N$	$1/(2Q_{MM})$	$\delta$
20(TE)	$1,84 \cdot 10^{-7}$	10	$1,1 \cdot 10^{-8}$	0,67
		20	$1,6 \cdot 10^{-7}$	0,15
		30	$2,05 \cdot 10^{-7}$	0,11
20(TH)	$2,5 \cdot 10^{-7}$	10	$2,9 \cdot 10^{-8}$	0,98
		20	$3,5 \cdot 10^{-7}$	0,29
		30	$3,1 \cdot 10^{-7}$	0,19
30(TH)	$6,07 \cdot 10^{-11}$	10	$1,36 \cdot 10^{-10}$	0,59
		20	$1,4 \cdot 10^{-10}$	0,57
		30	$8,9 \cdot 10^{-11}$	0,32
		40	$6,8 \cdot 10^{-11}$	0,12

показали, что численное решение сходится к точному при увеличении  $N$ . Формула (4) применима для вычисления добротностей мод до 30-го порядка, и точность

вычисления добротности по этой формуле существенно зависит от точности вычисления поля в пространстве вокруг резонатора.

В качестве примера использования описанного алгоритма приведем зависимость излучательных потерь диэлектрического дискового резонатора от отношения высоты диска к длине волны в резонаторе (рис.2). На рис.2 показаны данные, соответствующие ШГ-моду (распределение одной из компонент поля вдоль образующей на границе резонатора показано на рис.3) с  $m = 15, \epsilon = 4, 0$ . На графике четко прослеживается резкое уменьшение излучательной добротности, когда высота резонатора становится порядка длины волны.

Автор благодарен С.П.Вятчанину и И.А.Биленко за постановку задачи и внимание к работе.

Литература

1. Брагинский В.Б., Вятчанин С.П. // ДАН. 1991. 309, №10. С. 570.
2. Pchenko V.S., Gorodetsky M.L., Vyatchanin S.P. // Opt. Commun. 1994. 107. P. 41.
3. Страттон Дж. А. Теория электромагнетизма. М.; Л., 1948.
4. Будах Б.М., Самарский А.А., Тихонов А.Н. Сборник задач по математической физике. М., 1980.
5. Cohn S.B. // IEEE Trans. Microwave Theory Tech. 1968. 16. P. 218.
6. Garault J., Guilton P. // Electron. Lett. 1976. 12. P. 475.
7. Konishi Y., Hoshino N., Utsumi Y. // IEEE Trans. Microwave Theory Tech. 1976. 24. P. 112.
8. Glisson A.W., Wilton D.R. // IEEE Trans. Antennas Propag. 1980. 28. P. 5.
9. Glisson A.W., Kuffez D., James J. // IEEE Trans. Microwave Theory Tech. 1983. 31. P. 12.
10. Harrington R.F. Field Computation by Moment Method. N.Y., 1968.
11. Поджо А., Миллер Е. // Вычислительные методы в электродинамике. М., 1977. С. 128.

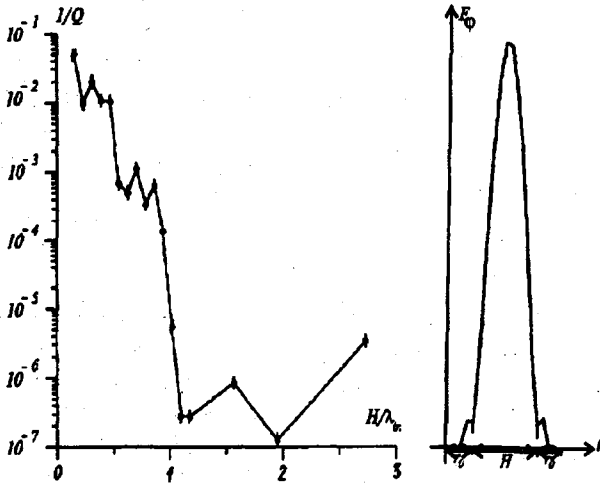


Рис.2.

Рис.3.

Рис.2. Зависимость излучательных потерь дискового ОДР от отношения его высоты к длине волны в резонаторе

Рис.3. Распределение компоненты напряженности электрического поля вдоль образующей дискового ОДР

Поступила в редакцию 13.06.96